

Online Anhang

Tabelle 1: Bundeslandspezifische schulrechtliche Regelungen zum Übergang in die Sekundarstufe I, der Verbindlichkeit von Schulpflichten und der Entscheidungshoheit

Bundesland	Regelung	Schulbezirk bzw. Schulpflicht	Anzahl der Grundschuljahre	Entscheidungsmacht	Bei Dissenz
Baden-Württemberg	§76 Abs. 2 Schulgesetz für Baden-Württemberg (SchG)	Ja	4	Beratung/Eltern	
Bayern	§42 Abs. 1 Bayerisches Gesetz über das Erziehungs- und Unterrichtswesen (BayEUG)	Ja	4	Beratung/Empfehlung/Eltern	Probeunterricht
Berlin	§55a Abs.1 Schulgesetz für das Land Berlin (Schulgesetz - SchulG)	Ja	6	Beratung/Eltern	Probeunterricht von einem Jahr
Brandenburg	§106 Brandenburgischen Schulgesetzes (BbgSchulG.)	Ja	6	Beratung/Empfehlung/Eltern	Probeunterricht und Auswahlverfahren
Bremen	In Bremen werden die einzelnen Straßen den Grundschulen zugeordnet. (https://www.bildung.bremen.de/grundschule-3719)	Ja	4	Beratung/Eltern	
Hamburg	§42 Abs. 1 & 7 Hamburgisches Schulgesetz (HmbSG)	Nein	4	Beratung/Eltern	
Hessen	§60 Abs. 4 Hessisches Schulgesetz	Ja	4	Beratung/Eltern	
Mecklenburg-Vorpommern	§46 Abs. 1 Schulgesetz für das Land Mecklenburg-Vorpommern (Schulgesetz - SchulG M-V)	Ja	4; aber Orientierungsstufe in 5 und 6	Beratung/Eltern	ggf. Propezeit (7)
Niedersachsen	§63 Abs. 2 Niedersächsisches Schulgesetz (NSchG)	Ja	4	Beratung/Empfehlung/Eltern	
Nordrhein-Westfalen	Abs. 1 Verwaltungsvorschriften zur Verordnung über den Bildungsgang in der Grundschule	Nein	4	Beratung/Empfehlung/Eltern	Probeunterricht
Rheinland-Pfalz	§62 Abs. 1 Schulgesetz Rheinland-Pfalz	Ja	4	Beratung/Empfehlung/Eltern	
Saarland	§19 Gesetz Nr. 812 zur Ordnung des Schulwesens im Saarland (Schulordnungsgesetz - SchoG)	Ja	4	Empfehlung/Eltern	
Sachsen	§25 Abs. 1 Sächsisches Schulgesetz	Ja	4	Beratung/Empfehlung/Eltern	Prüfung
Sachsen-Anhalt	§41 Abs. 1 Schulgesetz des Landes Sachsen-Anhalt (SchulG LSA)	Ja	4	Beratung/Empfehlung/Eltern	
Schleswig-Holstein	§24 Abs.2 Schleswig-Holsteinisches Schulgesetz (Schulgesetz - SchulG)	Ja	4	Beratung/Empfehlung/Eltern	Bei einer Hauptschulempfehlung kann kein Gymnasium besucht werden
Thüringen	§14 Abs. 1 Thüringer Schulgesetz (ThürSchulG)	Ja	4	Empfehlung/Eltern	Prüfung/Probeunterricht

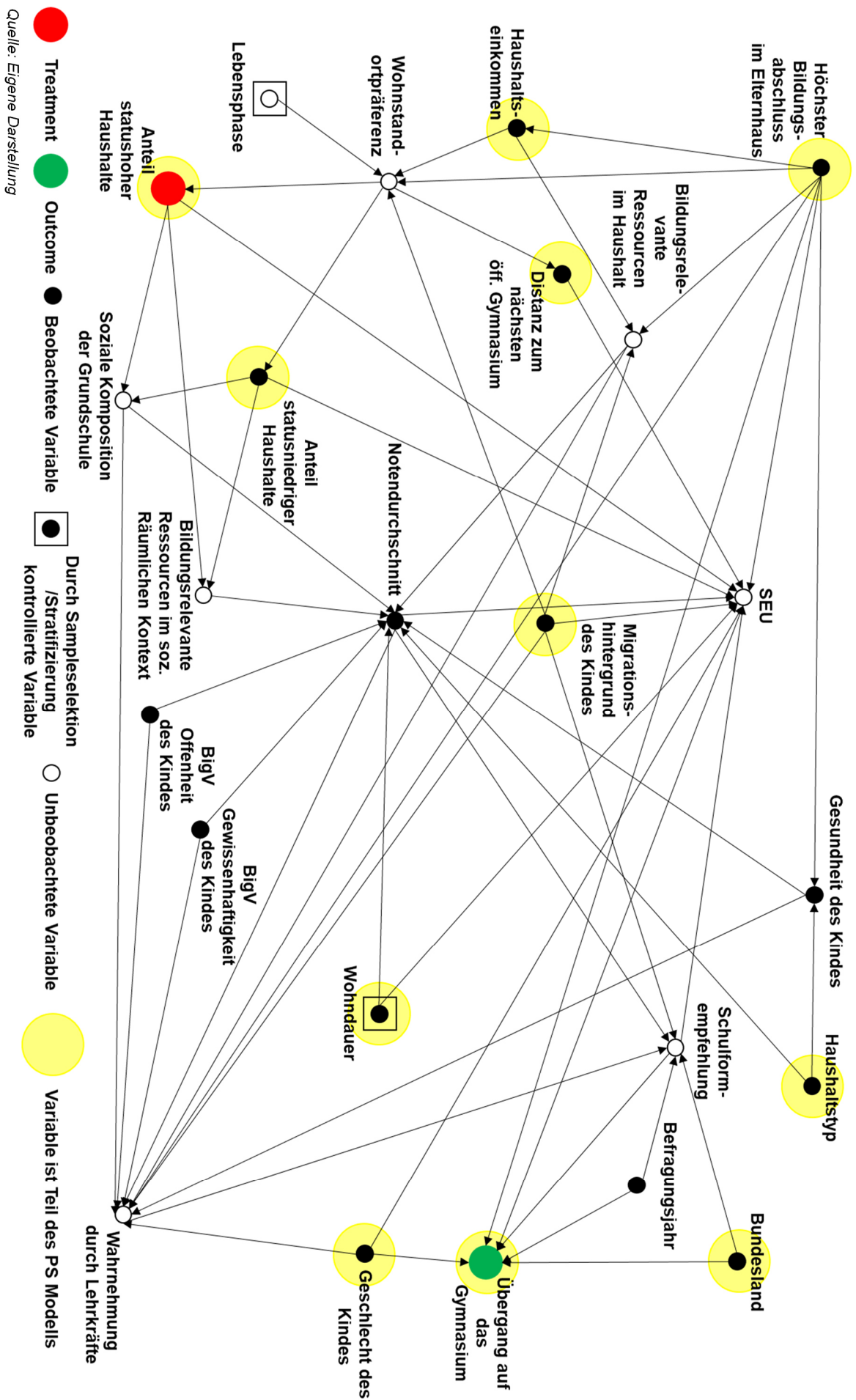
Quelle: Eigene Darstellung auf Basis einer Zusammenfassung der Schulgesetzgebung durch die KMK sowie deren Onlineangebot (KMK 2020a; KMK 2015).

Tabelle 2: Überprüfte Matching-Algorithmen

Linkfunktion_Algorithmus	Balance für den Schwellenwert <=3% (Kontrollgruppe) vs.>9% (Treatmentgruppe)							
	Anteil statusniedriger Haushalte in k=400		Anteil statushoher Haushalte in k=400		Anteil statusniedriger Haushalte in k=800		Anteil statushoher Haushalte in k=800	
	ATT	MeanBias	ATT	MeanBias	ATT	MeanBias	ATT	MeanBias
Logit_1:1	-0,012	7,193	0,070	3,524	0,021	6,026	0,049	3,839
Probit_1:1	0,003	5,494	0,104	4,269	0,007	4,999	0,089	4,249
Logit_1:3	-0,013	4,810	0,092	3,014	-0,008	5,053	0,074	2,834
Probit_1:3	-0,011	4,245	0,116	3,449	-0,010	4,538	0,084	3,217
Logit_1:10	-0,019	4,256	0,099	2,553	-0,009	4,629	0,086	2,223
Probit_1:10	-0,022	3,819	0,107	2,852	-0,014	4,465	0,086	2,749
Logit_kernel	-0,021	3,943	0,104	2,202	-0,017	4,190	0,093	2,327
Probit_kernel	-0,029	3,757	0,107	2,615	-0,020	3,827	0,088	2,705
Logit_kernel_normal	-0,027	3,511	0,116	1,843	-0,021	3,825	0,104	1,789
Probit_kernel_normal	-0,033	3,375	0,121	2,285	-0,027	3,398	0,104	2,048
Logit_kernel_uniform	-0,023	3,823	0,108	2,113	-0,018	4,098	0,096	2,175
Probit_kernel_uniform	-0,029	3,743	0,111	2,520	-0,022	3,681	0,090	2,477
Logit_kernel_biweight	-0,019	4,047	0,102	2,249	-0,016	4,216	0,090	2,377
Probit_kernel_biweight	-0,028	3,778	0,105	2,692	-0,020	3,933	0,087	2,817
Logit_Caliper_probit (10)	-0,023	4,196	0,100	2,455	-0,018	4,589	0,092	2,622
Probit_Caliper_probit (10)	-0,029	4,004	0,104	2,937	-0,020	4,317	0,086	3,124
Logit_Caliper_logit (10)	-0,023	4,208	0,102	2,469	-0,018	4,597	0,092	2,591
Probit_Caliper_logit (10)	-0,030	4,064	0,106	2,915	-0,021	4,283	0,087	3,109

Quelle: Eigene Darstellung und Berechnung auf Basis der Daten des SOEP v35 (2018), der Zensus 2011 100x100 Meter Gitterdaten (vgl. Destatis 2018), der microm PLZ8 Daten (vgl. microm 2019; Goebel; Hopp 2015), der Daten zur räumlichen Ausdehnung der Bundesländer (vgl. BKG 2019) und aller Schuladresse aus ganz Deutschland (vgl. Abschnitt 4.4) (Die Fallzahl variiert mit jeder Berechnung)

Abbildung 32: DAG zur Identifikation des Effektes eines oberhalb eines Schwellenwertes liegenden Anteils statushoher Haushalte innerhalb eines relevanten sozialräumlichen Kontextes



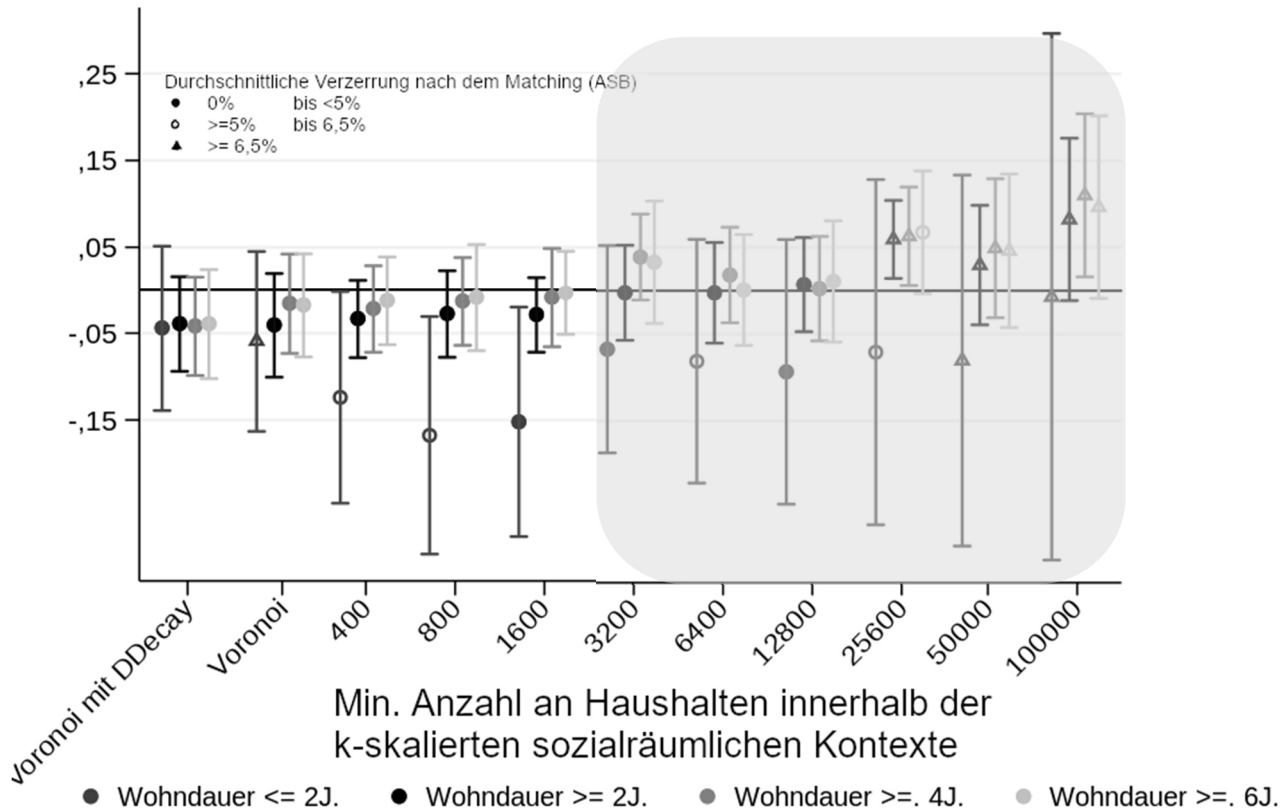
Quelle: Eigene Darstellung

Tabelle 3: Anzahl der Fälle in der Treatment- und Kontrollgruppe nach Durchsetzung der Common-Support-Bedingung für den Schwellenwert von zwölf Prozent (≤ 3 vs. > 12 %) und für die Skalierungen $k=400$ bis $k=1.600$ sowie die Voronoi-Flächen

Gruppe und Skalierung	Off	Off	Off	On	On	On	Total	Total	Total
	support Untreated	support Treated	support Total	support Untreated	support Treated	support Total	Untreated	Treated	Total
Alle Fälle, 12% statushohe HH in $k=1.600$	178	13	191	2.006	615	2.621	2.184	628	2.812
Alle Fälle, 12% statushohe HH in $k=400$	396	12	408	2.065	640	2.705	2.461	652	3.113
Alle Fälle, 12% statushohe HH in $k=800$	345	12	357	1.952	640	2.592	2.297	652	2.949
Alle Fälle, 12% statushohe HH in Voronoi	287	13	300	1.772	683	2.455	2.059	696	2.755
Alle Fälle, 12% statushohe HH in Voronoi mit DDecay	734	1	735	1.968	323	2.291	2.702	324	3.026
Alle Fälle, 12% statusniedrige HH in $k=1.600$	242	2	244	1.975	875	2.850	2.217	877	3.094
Alle Fälle, 12% statusniedrige HH in $k=400$	329	8	337	2.202	783	2.985	2.531	791	3.322
Alle Fälle, 12% statusniedrige HH in $k=800$	185	7	192	2.229	832	3.061	2.414	839	3.253
Alle Fälle, 12% statusniedrige HH in Voronoi	189	31	220	1.932	848	2.780	2.121	879	3.000
Alle Fälle, 12% statusniedrige HH in Voronoi mit DDecay	281	5	286	2.509	448	2.957	2.790	453	3.243
Hohe Bildung, 12% statushohe HH in $k=1.600$	56	17	73	382	309	691	438	326	764
Hohe Bildung, 12% statushohe HH in $k=400$	101	12	113	393	316	709	494	328	822
Hohe Bildung, 12% statushohe HH in $k=800$	94	10	104	372	320	692	466	330	796
Hohe Bildung, 12% statushohe HH in Voronoi	45	29	74	367	315	682	412	344	756
Hohe Bildung, 12% statushohe HH in Voronoi mit DDecay	117	1	118	446	196	642	563	197	760
Hohe Bildung, 12% statusniedrige HH in $k=1.600$	155	0	155	565	183	748	720	183	903
Hohe Bildung, 12% statusniedrige HH in $k=400$	195	0	195	599	149	748	794	149	943
Hohe Bildung, 12% statusniedrige HH in $k=800$	137	0	137	641	168	809	778	168	946
Hohe Bildung, 12% statusniedrige HH in Voronoi	128	4	132	557	189	746	685	193	878
Hohe Bildung, 12% statusniedrige HH in Voronoi mit DDecay	321	5	326	532	84	616	853	89	942
Mittlere Bildung, 12% statushohe HH in $k=1.600$	96	5	101	1.125	233	1.358	1.221	238	1.459
Mittlere Bildung, 12% statushohe HH in $k=400$	264	5	269	1.105	252	1.357	1.369	257	1.626
Mittlere Bildung, 12% statushohe HH in $k=800$	182	5	187	1.091	247	1.338	1.273	252	1.525
Mittlere Bildung, 12% statushohe HH in Voronoi	316	6	322	999	67	1.066	1.315	73	1.388
Mittlere Bildung, 12% statushohe HH in Voronoi mit DDecay	221	9	230	954	262	1.216	1.175	271	1.446
Mittlere Bildung, 12% statusniedrige HH in $k=1.600$	195	45	240	920	419	1.339	1.115	464	1.579
Mittlere Bildung, 12% statusniedrige HH in $k=400$	152	23	175	1.123	401	1.524	1.275	424	1.699
Mittlere Bildung, 12% statusniedrige HH in $k=800$	168	14	182	1.038	428	1.466	1.206	442	1.648
Mittlere Bildung, 12% statusniedrige HH in Voronoi	103	58	161	960	407	1.367	1.063	465	1.528
Mittlere Bildung, 12% statusniedrige HH in Voronoi mit DDecay	80	15	95	1.357	203	1.560	1.437	218	1.655
Niedrige Bildung, 12% statushohe HH in $k=1.600$	99	2	101	323	62	385	422	64	486
Niedrige Bildung, 12% statushohe HH in $k=400$	113	0	113	360	67	427	473	67	540
Niedrige Bildung, 12% statushohe HH in $k=800$	130	1	131	307	69	376	437	70	507
Niedrige Bildung, 12% statushohe HH in Voronoi	82	8	90	309	73	382	391	81	472
Niedrige Bildung, 12% statushohe HH in Voronoi mit DDecay	250	3	253	283	20	303	533	23	556
Niedrige Bildung, 12% statusniedrige HH in $k=1.600$	413	13	54	323	200	523	364	213	577
Niedrige Bildung, 12% statusniedrige HH in $k=400$	51	9	60	372	192	564	423	201	624
Niedrige Bildung, 12% statusniedrige HH in $k=800$	38	12	50	375	204	579	413	216	629
Niedrige Bildung, 12% statusniedrige HH in Voronoi	40	9	49	333	184	517	373	193	566
Niedrige Bildung, 12% statusniedrige HH in Voronoi mit DDecay	30	7	37	448	131	579	478	138	616
Wohndauer ≤ 2 Jahre, 12% statushohe HH in $k=1.600$	40	4	44	238	74	312	278	78	356
Wohndauer ≤ 2 Jahre, 12% statushohe HH in $k=400$	154	5	159	161	70	231	315	75	390
Wohndauer ≤ 2 Jahre, 12% statushohe HH in $k=800$	68	4	72	226	77	303	294	81	375
Wohndauer ≤ 2 Jahre, 12% statushoher HH in Voronoi	287	13	300	1.772	683	2.455	2.059	696	2.755
Wohndauer ≤ 2 Jahre, 12% statushoher HH in Voronoi mit DDecay	734	1	735	1.968	323	2.291	2.702	324	3.026
Wohndauer ≤ 2 Jahre, 12% statusniedrige HH in $k=1.600$	32	26	58	207	133	340	239	159	398
Wohndauer ≤ 2 Jahre, 12% statusniedrige HH in $k=400$	88	14	102	197	143	340	285	157	442
Wohndauer ≤ 2 Jahre, 12% statusniedrige HH in $k=800$	60	28	88	202	136	338	262	164	426
Wohndauer ≤ 2 Jahre, 12% statusniedrige HH in Voronoi	189	31	220	1.932	848	2.780	2.121	879	3.000
Wohndauer ≤ 2 Jahre, 12% statusniedrige HH in Voronoi mit DDecay	281	5	286	2.509	448	2.957	2.790	453	3.243
Wohndauer ≥ 2 Jahre, 12% statushoher HH in Voronoi	113	5	118	157	79	236	270	84	354
Wohndauer ≥ 2 Jahre, 12% statushoher HH in Voronoi mit DDecay	126	2	128	188	30	218	314	32	346
Wohndauer ≥ 2 Jahre, 12% statusniedrige HH in Voronoi	43	35	78	191	127	318	234	162	396
Wohndauer ≥ 2 Jahre, 12% statusniedrige HH in Voronoi mit DDecay	109	12	121	222	93	315	331	105	436
Wohndauer ≥ 4 Jahre, 12% statushohe HH in $k=1.600$	145	13	158	1.707	531	2.238	1.852	544	2.396
Wohndauer ≥ 4 Jahre, 12% statushohe HH in $k=400$	344	11	355	1.751	558	2.309	2.095	569	2.664
Wohndauer ≥ 4 Jahre, 12% statushohe HH in $k=800$	290	10	300	1.665	555	2.220	1.955	565	2.520
Wohndauer ≥ 4 Jahre, 12% statushoher HH in Voronoi	387	13	400	1.370	576	1.946	1.757	589	2.346
Wohndauer ≥ 4 Jahre, 12% statushoher HH in Voronoi mit DDecay	636	9	645	1.674	275	1.949	2.310	284	2.594
Wohndauer ≥ 4 Jahre, 12% statusniedrige HH in $k=1.600$	220	0	220	1.711	705	2.416	1.931	705	2.636
Wohndauer ≥ 4 Jahre, 12% statusniedrige HH in $k=400$	295	4	299	1.918	634	2.552	2.213	638	2.851
Wohndauer ≥ 4 Jahre, 12% statusniedrige HH in $k=800$	171	2	173	1.938	675	2.613	2.109	677	2.786
Wohndauer ≥ 4 Jahre, 12% statusniedrige HH in Voronoi	177	29	206	1.678	683	2.361	1.855	712	2.567
Wohndauer ≥ 4 Jahre, 12% statusniedrige HH in Voronoi mit DDecay	255	4	259	2.170	355	2.525	2.425	359	2.784
Wohndauer ≥ 6 Jahre, 12% statushohe HH in $k=1.600$	96	10	106	1.406	459	1.865	1.502	469	1.971
Wohndauer ≥ 6 Jahre, 12% statushohe HH in $k=400$	250	7	257	1.465	478	1.943	1.715	485	2.200
Wohndauer ≥ 6 Jahre, 12% statushohe HH in $k=800$	206	7	213	1.385	477	1.862	1.591	484	2.075
Wohndauer ≥ 6 Jahre, 12% statushoher HH in Voronoi	268	11	279	1.137	490	1.627	1.405	501	1.906
Wohndauer ≥ 6 Jahre, 12% statushoher HH in Voronoi mit DDecay	466	9	475	1.440	225	1.665	1.906	234	2.140
Wohndauer ≥ 6 Jahre, 12% statusniedrige HH in $k=1.600$	189	6	195	1.476	524	2.000	1.665	530	2.195
Wohndauer ≥ 6 Jahre, 12% statusniedrige HH in $k=400$	241	1	242	1.659	482	2.141	1.900	483	2.383
Wohndauer ≥ 6 Jahre, 12% statusniedrige HH in $k=800$	145	5	150	1.668	509	2.177	1.813	514	2.327
Wohndauer ≥ 6 Jahre, 12% statusniedrige HH in Voronoi	159	17	176	1.436	517	1.953	1.595	534	2.129
Wohndauer ≥ 6 Jahre, 12% statusniedrige HH in Voronoi mit DDecay	214	4	218	1.856	254	2.110	2.070	258	2.328

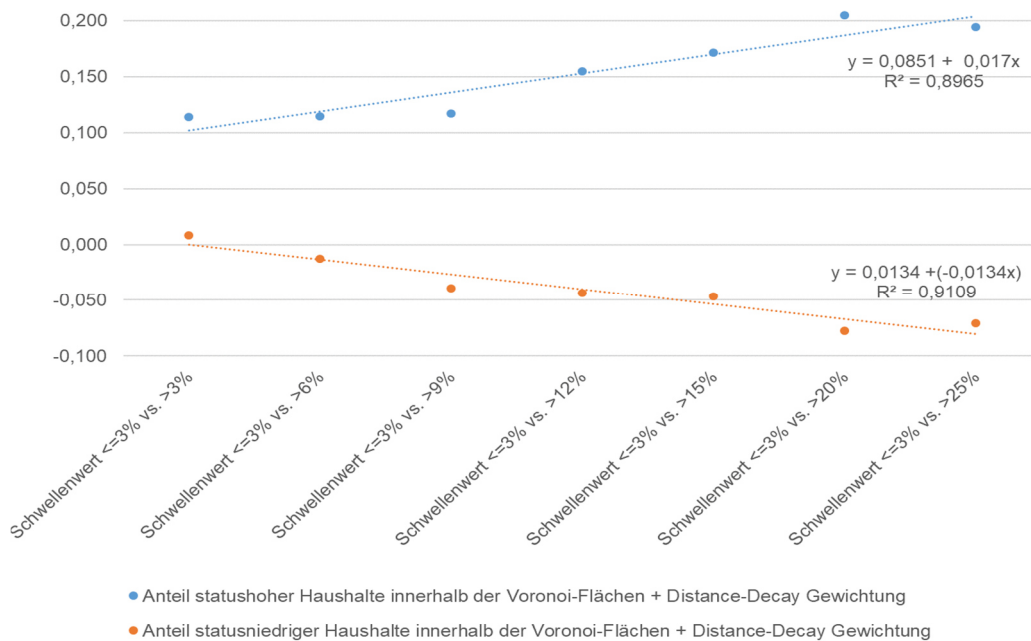
Quelle: Eigene Darstellung und Berechnung auf Basis der Daten des SOEP v35 (2018), der Zensus 2011 100x100 Meter Gitterdaten (vgl. Destatis 2018), der microm PLZ8 Daten (vgl. microm 2019; Goebel; Hopp 2015), der Daten zur räumlichen Ausdehnung der Bundesländer (vgl. BKG 2019) und aller Schuladresse aus ganz Deutschland (vgl. Abschnitt 4.4) (Die Fallzahl variiert mit jeder Berechnung)

Abbildung 33: ATT in Abhängigkeit des Anteils statusniedriger Haushalte für den Schwellenwert von neun Prozent in Abhängigkeit der Wohndauer (undifferenziert)



Quelle: Eigene Darstellung und Berechnung auf Basis der Daten des SOEP v35 (2018), der Zensus 2011 100x100 Meter Gitterdaten (vgl. Destatis 2018), der microm PLZ8 Daten (vgl. microm 2019; Goebel; Hopp 2015), der Daten zur räumlichen Ausdehnung der Bundesländer (vgl. BKG 2019) und aller Schuladresse aus ganz Deutschland (vgl. Abschnitt 4.4) (Die Fallzahl variiert mit jeder Berechnung)

Abbildung 341: Lineare Regression der Schwellenwerte auf Basis der in ihrer Relevanz gewichteten Statushaushalte innerhalb der Voronoi-Flächen



Quelle: Eigene Darstellung und Berechnung auf Basis der Daten des SOEP v35 (2018), der Zensus 2011 100x100 Meter Gitterdaten (vgl. Destatis 2018), der microm PLZ8 Daten (vgl. microm 2019; Goebel; Hopp 2015), der Daten zur räumlichen Ausdehnung der Bundesländer (vgl. BKG 2019) und aller Schuladresse aus ganz Deutschland (vgl. Abschnitt 4.4) (Die Fallzahl variiert mit jeder Berechnung)

Tabelle 4: Sensitivitätsanalyse auf Basis von *mh*bounds für den durchschnittlichen Unterschied von *Treatment*- und *Kontrollgruppe* für den Anteil statushoher und statusniedriger Haushalte in $k = 400$ bis $k = 1.600$ und den Voronoi-Flächen; für alle Schwellenwerte; Differenziert nach Bildungsgruppen

Anteil statushoher Haushalte						Anteil statusniedriger Haushalte					
Name	e_y	mhplus	mhminus	p_mhplus	p_mhminus	Name	e_y	mhplus	mhminus	p_mhplus	p_mhminus
B1_01_h_400	1,0	0,368	0,368	0,356	0,356	B1_01_l_400	1,0	0,326	0,326	0,372	0,372
B2_01_h_400	1,1	2,017	4,042	0,022	0,000	B2_01_l_400	1,0	1,742	1,742	0,041	0,041
B3_01_h_400	1,2	1,949	4,550	0,026	0,000	B3_01_l_400	1,1	2,977	1,635	0,001	0,051
B1_03_h_400	1,0	- 0,024	- 0,024	0,510	0,510	B1_03_l_400	1,0	0,767	0,767	0,221	0,221
B2_03_h_400	1,0	0,717	0,717	0,237	0,237	B2_03_l_400	1,0	2,078	2,078	0,019	0,019
B3_03_h_400	1,5	1,906	7,866	0,028	0,000	B3_03_l_400	1,1	3,058	1,783	0,001	0,037
B1_06_h_400	1,0	0,959	0,959	0,169	0,169	B1_06_l_400	1,0	0,711	0,711	0,238	0,238
B2_06_h_400	1,0	2,048	2,048	0,020	0,020	B2_06_l_400	1,0	2,317	2,317	0,010	0,010
B3_06_h_400	1,7	1,970	8,752	0,024	0,000	B3_06_l_400	1,2	4,063	1,832	0,000	0,034
B1_09_h_400	1,0	1,748	1,748	0,040	0,040	B1_09_l_400	1,0	0,826	0,826	0,204	0,204
B2_09_h_400	1,1	1,785	3,283	0,037	0,001	B2_09_l_400	1,0	1,533	1,533	0,063	0,063
B3_09_h_400	2,0	2,134	10,420	0,016	0,000	B3_09_l_400	1,1	2,861	1,781	0,002	0,037
B1_12_h_400	1,0	1,492	1,492	0,068	0,068	B1_12_l_400	1,0	1,038	1,038	0,150	0,150
B2_12_h_400	1,1	1,960	3,327	0,025	0,000	B2_12_l_400	1,0	1,683	1,683	0,046	0,046
B3_12_h_400	2,0	2,341	10,266	0,010	0,000	B3_12_l_400	1,1	2,961	1,937	0,002	0,026
B1_15_h_400	1,0	1,707	1,707	0,044	0,044	B1_15_l_400	1,0	1,120	1,120	0,131	0,131
B2_15_h_400	1,1	2,069	3,342	0,019	0,000	B2_15_l_400	1,0	1,890	1,890	0,029	0,029
B3_15_h_400	2,0	2,132	9,673	0,016	0,000	B3_15_l_400	1,2	3,547	1,665	0,000	0,048
B1_20_h_400	1,0	0,062	0,062	0,475	0,475	B1_20_l_400	2,0	0,578	4,577	0,282	0,000
B2_20_h_400	1,3	1,788	4,985	0,037	0,000	B2_20_l_400	1,0	2,144	2,144	0,016	0,016
B3_20_h_400	2,0	2,074	9,223	0,019	0,000	B3_20_l_400	1,0	1,590	1,590	0,056	0,056
B1_25_h_400	1,0	- 0,107	- 0,107	0,543	0,543	B1_25_l_400	1,0	1,030	1,030	0,152	0,152
B2_25_h_400	1,3	1,665	4,581	0,048	0,000	B2_25_l_400	1,2	3,984	1,738	0,000	0,041
B3_25_h_400	2,0	2,400	9,148	0,008	0,000	B3_25_l_400	1,0	1,173	1,173	0,120	0,120
B1_01_h_800	1,0	0,352	0,352	0,362	0,362	B1_01_l_800	1,0	0,334	0,334	0,369	0,369
B2_01_h_800	1,0	2,432	2,432	0,008	0,008	B2_01_l_800	1,0	1,172	1,172	0,121	0,121
B3_01_h_800	1,2	2,036	4,543	0,021	0,000	B3_01_l_800	1,0	1,372	1,372	0,085	0,085
B1_03_h_800	1,0	0,538	0,538	0,295	0,295	B1_03_l_800	1,0	0,501	0,501	0,308	0,308
B2_03_h_800	1,0	0,853	0,853	0,197	0,197	B2_03_l_800	1,0	1,248	1,248	0,106	0,106
B3_03_h_800	1,5	1,732	7,754	0,042	0,000	B3_03_l_800	1,1	2,983	1,669	0,001	0,048
B1_06_h_800	1,0	0,990	0,990	0,161	0,161	B1_06_l_800	1,0	0,596	0,596	0,276	0,276
B2_06_h_800	1,0	2,026	2,026	0,021	0,021	B2_06_l_800	1,0	1,368	1,368	0,086	0,086
B3_06_h_800	1,7	1,702	8,543	0,044	0,000	B3_06_l_800	1,1	3,096	1,888	0,001	0,030
B1_09_h_800	1,0	1,228	1,228	0,110	0,110	B1_09_l_800	1,0	0,846	0,846	0,199	0,199
B2_09_h_800	1,0	2,279	2,279	0,011	0,011	B2_09_l_800	1,0	0,878	0,878	0,190	0,190
B3_09_h_800	2,0	1,656	9,823	0,049	0,000	B3_09_l_800	1,1	2,905	1,796	0,002	0,036
B1_12_h_800	1,0	0,541	0,541	0,294	0,294	B1_12_l_800	1,0	0,808	0,808	0,210	0,210
B2_12_h_800	1,2	1,810	4,412	0,035	0,000	B2_12_l_800	1,0	1,166	1,166	0,122	0,122
B3_12_h_800	2,0	1,875	9,727	0,030	0,000	B3_12_l_800	1,2	3,859	1,788	0,000	0,037
B1_15_h_800	1,0	0,470	0,470	0,319	0,319	B1_15_l_800	1,0	0,828	0,828	0,204	0,204
B2_15_h_800	1,1	1,981	3,224	0,024	0,001	B2_15_l_800	1,0	1,527	1,527	0,063	0,063
B3_15_h_800	2,0	2,174	9,626	0,015	0,000	B3_15_l_800	1,2	3,954	1,950	0,000	0,026
B1_20_h_800	1,0	- 0,110	- 0,110	0,544	0,544	B1_20_l_800	1,0	0,935	0,935	0,175	0,175
B2_20_h_800	1,2	1,688	3,858	0,046	0,000	B2_20_l_800	1,0	2,220	2,220	0,013	0,013
B3_20_h_800	2,0	1,810	8,859	0,035	0,000	B3_20_l_800	1,3	4,427	1,757	0,000	0,039
B1_25_h_800	1,0	0,338	0,338	0,368	0,368	B1_25_l_800	1,0	0,610	0,610	0,271	0,271
B2_25_h_800	1,3	2,011	4,935	0,022	0,000	B2_25_l_800	1,2	4,159	1,913	0,000	0,028
B3_25_h_800	2,0	2,131	8,859	0,017	0,000	B3_25_l_800	1,0	1,204	1,204	0,114	0,114
B1_01_h_1600	1,0	1,572	1,572	0,058	0,058	B1_01_l_1600	1,0	0,173	0,173	0,431	0,431
B2_01_h_1600	1,0	1,701	1,701	0,044	0,044	B2_01_l_1600	1,0	1,500	1,500	0,067	0,067
B3_01_h_1600	1,4	1,677	6,331	0,047	0,000	B3_01_l_1600	1,0	1,463	1,463	0,072	0,072
B1_03_h_1600	1,0	- 0,030	- 0,030	0,512	0,512	B1_03_l_1600	1,0	0,375	0,375	0,354	0,354
B2_03_h_1600	1,0	1,580	1,580	0,057	0,057	B2_03_l_1600	1,0	0,050	0,050	0,480	0,480
B3_03_h_1600	1,4	2,029	7,055	0,021	0,000	B3_03_l_1600	1,0	0,621	0,621	0,267	0,267
B1_06_h_1600	1,0	0,759	0,759	0,224	0,224	B1_06_l_1600	1,0	0,995	0,995	0,160	0,160
B2_06_h_1600	1,1	1,688	3,371	0,046	0,000	B2_06_l_1600	1,0	0,420	0,420	0,337	0,337
B3_06_h_1600	1,6	1,769	7,890	0,038	0,000	B3_06_l_1600	1,0	1,011	1,011	0,156	0,156
B1_09_h_1600	1,0	0,768	0,768	0,221	0,221	B1_09_l_1600	1,0	1,556	1,556	0,060	0,060
B2_09_h_1600	1,2	1,711	4,592	0,044	0,000	B2_09_l_1600	1,0	0,975	0,975	0,165	0,165
B3_09_h_1600	1,8	1,770	8,739	0,038	0,000	B3_09_l_1600	1,0	0,981	0,981	0,163	0,163
B1_12_h_1600	1,0	0,719	0,719	0,236	0,236	B1_12_l_1600	1,0	1,179	1,179	0,119	0,119
B2_12_h_1600	1,2	1,815	4,365	0,035	0,000	B2_12_l_1600	1,0	0,427	0,427	0,335	0,335
B3_12_h_1600	1,8	1,910	8,588	0,028	0,000	B3_12_l_1600	1,0	1,415	1,415	0,079	0,079
B1_15_h_1600	1,0	- 0,071	- 0,071	0,528	0,528	B1_15_l_1600	1,0	1,240	1,240	0,107	0,107
B2_15_h_1600	1,2	1,702	4,069	0,044	0,000	B2_15_l_1600	1,0	1,137	1,137	0,128	0,128
B3_15_h_1600	1,8	1,800	8,214	0,036	0,000	B3_15_l_1600	1,0	1,824	1,824	0,034	0,034
B1_20_h_1600	1,0	- 0,058	- 0,058	0,523	0,523	B1_20_l_1600	1,0	1,006	1,006	0,157	0,157
B2_20_h_1600	1,2	1,929	4,048	0,027	0,000	B2_20_l_1600	1,0	0,979	0,979	0,164	0,164
B3_20_h_1600	2,0	1,682	8,793	0,046	0,000	B3_20_l_1600	1,0	2,036	2,036	0,021	0,021
B1_25_h_1600	1,0	1,008	1,008	0,157	0,157	B1_25_l_1600	1,0	1,156	1,156	0,124	0,124
B2_25_h_1600	1,2	1,876	3,833	0,030	0,000	B2_25_l_1600	1,0	1,096	1,096	0,137	0,137
B3_25_h_1600	1,9	1,828	8,003	0,034	0,000	B3_25_l_1600	1,2	3,524	1,838	0,000	0,033

Fortsetzung auf nächster Seite

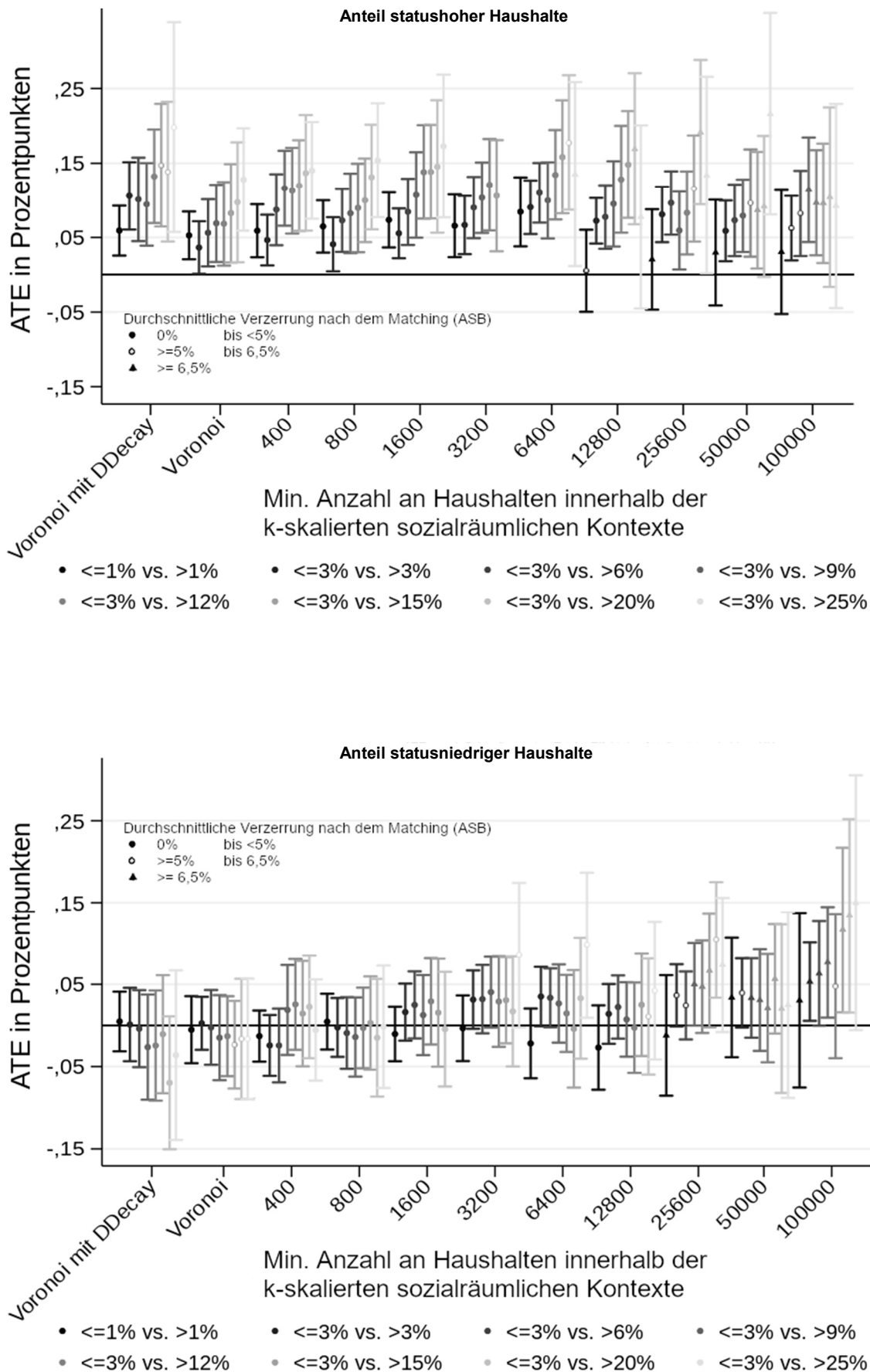
Fortsetzung der Tabelle 4

B1_01_h_25	1,0	0,465	0,465	0,321	0,321	B1_01_l_25	1,0	0,105	0,105	0,458	0,458
B2_01_h_25	1,0	1,315	1,315	0,094	0,094	B2_01_l_25	1,0	0,649	0,649	0,258	0,258
B3_01_h_25	1,1	1,889	3,091	0,029	0,001	B3_01_l_25	1,0	2,099	2,099	0,018	0,018
B1_03_h_25	1,1	0,729	- 0,096	0,233	0,538	B1_03_l_25	1,0	0,415	0,415	0,339	0,339
B2_03_h_25	1,0	1,302	1,302	0,096	0,096	B2_03_l_25	1,0	0,004	0,004	0,499	0,499
B3_03_h_25	1,4	2,130	7,140	0,017	0,000	B3_03_l_25	1,0	1,622	1,622	0,052	0,052
B1_06_h_25	1,0	0,201	0,201	0,420	0,420	B1_06_l_25	1,0	1,038	1,038	0,150	0,150
B2_06_h_25	1,0	1,773	1,773	0,038	0,038	B2_06_l_25	1,0	0,321	0,321	0,374	0,374
B3_06_h_25	1,5	1,750	7,161	0,040	0,000	B3_06_l_25	1,0	2,038	2,038	0,021	0,021
B1_09_h_25	1,0	- 0,038	- 0,038	0,515	0,515	B1_09_l_25	2,0	0,963	4,879	0,168	0,000
B2_09_h_25	1,0	1,834	1,834	0,033	0,033	B2_09_l_25	1,0	0,668	0,668	0,252	0,252
B3_09_h_25	1,7	1,797	8,422	0,036	0,000	B3_09_l_25	1,1	2,852	1,681	0,002	0,046
B1_12_h_25	1,0	0,279	0,279	0,390	0,390	B1_12_l_25	1,0	1,587	1,587	0,056	0,056
B2_12_h_25	1,0	1,716	1,716	0,043	0,043	B2_12_l_25	1,0	0,459	0,459	0,323	0,323
B3_12_h_25	1,7	1,722	7,784	0,043	0,000	B3_12_l_25	1,1	2,946	1,853	0,002	0,032
B1_15_h_25	1,0	- 0,150	- 0,150	0,560	0,560	B1_15_l_25	1,0	1,182	1,182	0,119	0,119
B2_15_h_25	1,0	1,753	1,753	0,040	0,040	B2_15_l_25	1,0	0,921	0,921	0,178	0,178
B3_15_h_25	1,7	1,784	7,558	0,037	0,000	B3_15_l_25	1,0	1,480	1,480	0,069	0,069
B1_20_h_25	1,0	- 0,034	- 0,034	0,514	0,514	B1_20_l_25	1,0	0,857	0,857	0,196	0,196
B2_20_h_25	1,0	1,874	1,874	0,030	0,030	B2_20_l_25	1,0	0,892	0,892	0,186	0,186
B3_20_h_25	2,0	1,908	8,235	0,028	0,000	B3_20_l_25	1,0	1,202	1,202	0,115	0,115
B1_25_h_25	1,0	0,374	0,374	0,354	0,354	B1_25_l_25	1,1	- 0,137	0,477	0,555	0,317
B2_25_h_25	1,0	2,033	2,033	0,021	0,021	B2_25_l_25	1,0	1,003	1,003	0,158	0,158
B3_25_h_25	2,0	1,895	7,974	0,029	0,000	B3_25_l_25	1,1	2,143	1,323	0,016	0,093
B1_01_h_12	1,0	0,569	0,569	0,285	0,285	B1_01_l_12	1,0	0,453	0,453	0,325	0,325
B2_01_h_12	1,0	1,850	1,850	0,032	0,032	B2_01_l_12	1,0	0,344	0,344	0,365	0,365
B3_01_h_12	1,5	1,645	7,649	0,050	0,000	B3_01_l_12	1,0	1,351	1,351	0,088	0,088
B1_03_h_12	1,0	1,101	1,101	0,135	0,135	B1_03_l_12	2,0	0,716	5,529	0,237	0,000
B2_03_h_12	1,2	1,952	5,084	0,025	0,000	B2_03_l_12	1,0	0,790	0,790	0,215	0,215
B3_03_h_12	1,6	1,950	8,409	0,026	0,000	B3_03_l_12	1,0	1,484	1,484	0,069	0,069
B1_06_h_12	1,0	0,717	0,717	0,237	0,237	B1_06_l_12	2,0	0,914	4,810	0,180	0,000
B2_06_h_12	1,1	2,065	3,347	0,019	0,000	B2_06_l_12	1,0	1,626	1,626	0,052	0,052
B3_06_h_12	1,8	1,645	8,644	0,050	0,000	B3_06_l_12	1,0	1,371	1,371	0,085	0,085
B1_09_h_12	1,0	0,293	0,293	0,385	0,385	B1_09_l_12	1,0	1,356	1,356	0,088	0,088
B2_09_h_12	1,1	1,901	3,008	0,029	0,001	B2_09_l_12	1,2	4,284	1,850	0,000	0,032
B3_09_h_12	1,9	1,650	8,406	0,049	0,000	B3_09_l_12	1,0	1,345	1,345	0,089	0,089
B1_12_h_12	1,0	0,006	0,006	0,498	0,498	B1_12_l_12	1,0	0,971	0,971	0,166	0,166
B2_12_h_12	1,2	1,978	3,772	0,024	0,000	B2_12_l_12	1,0	2,176	2,176	0,015	0,015
B3_12_h_12	2,0	1,928	8,658	0,027	0,000	B3_12_l_12	1,0	1,663	1,663	0,048	0,048
B1_15_h_12	1,0	0,276	0,276	0,391	0,391	B1_15_l_12	1,0	0,604	0,604	0,273	0,273
B2_15_h_12	1,1	1,937	2,716	0,026	0,003	B2_15_l_12	1,0	1,999	1,999	0,023	0,023
B3_15_h_12	2,0	2,274	8,176	0,011	0,000	B3_15_l_12	1,0	1,132	1,132	0,129	0,129
B1_20_h_12	1,0	0,608	0,608	0,271	0,271	B1_20_l_12	1,0	0,374	0,374	0,354	0,354
B2_20_h_12	1,2	1,799	3,079	0,036	0,001	B2_20_l_12	1,0	1,929	1,929	0,027	0,027
B3_20_h_12	2,0	2,453	7,398	0,007	0,000	B3_20_l_12	1,0	0,862	0,862	0,194	0,194
B1_25_h_12	1,0	- 0,081	- 0,081	0,532	0,532	B1_25_l_12	1,0	1,011	1,011	0,156	0,156
B2_25_h_12	1,4	1,642	3,747	0,050	0,000	B2_25_l_12	1,3	3,635	1,775	0,000	0,038
B3_25_h_12	2,0	2,069	6,430	0,019	0,000	B3_25_l_12	1,0	1,054	1,054	0,146	0,146

Interpretation der Kurznamen in der Tabelle: **B** = Bildungsgruppe; **Zahlenwert**: 1= niedrige formale Bildung, 2= mittlere formale Bildung, 3= hohe formale Bildung; **Zahlenwert** = Schwellenwert in Prozent; : h = hoher Status, l = niedriger Status; **Angabe der Skalierung**: 400 bis 1.600 bezieht sich auf die k-skalierten sozialräumlichen Kontexte; 25 verweist auf die Voronoi-Flächen; 12 auf die Voronoi-Flächen mit einer distanzabhängigen Gewichtung der Relevanz der Statushaushalte.

Quelle: Eigene Darstellung und Berechnung auf Basis der Daten des SOEP v35 (2018), der Zensus 2011 100x100 Meter Gitterdaten (vgl. Destatis 2018), der microm PLZ8 Daten (vgl. microm 2019; Goebel; Hopp 2015), der Daten zur räumlichen Ausdehnung der Bundesländer (vgl. BKG 2019) und aller Schuladresse aus ganz Deutschland (vgl. Abschnitt 4.4) (Die Fallzahl variiert mit jeder Berechnung)

Abbildung 35: ATE des Anteils statushoher und statusniedriger Haushalte in allen Skalierungen und über alle Schwellenwerte (undifferenziert)



Quelle: Eigene Darstellung und Berechnung auf Basis der Daten des SOEP v35 (2018), der Zensus 2011 100x100 Meter Gitterdaten (vgl. Destatis 2018), der microm PLZ8 Daten (vgl. microm 2019; Goebel; Hopp 2015), der Daten zur räumlichen Ausdehnung der Bundesländer (vgl. BKG 2019) und aller Schuladresse aus ganz Deutschland (vgl. Abschnitt 4.4) (Die Fallzahl variiert mit jeder Berechnung)

Tabelle 5: ATE für den Anteil statushoher Haushalte in allen Skalierungen und Schwellenwerten; Differenziert nach Bildungsgruppen; Exakte Werte

	Schwellenwert ≤ 1% vs. > 1%				Schwellenwert ≤ 3% vs. > 3%				Schwellenwert ≤ 3% vs. > 12%				Schwellenwert ≤ 3% vs. > 15%			
	Gesamtes Sample	Niedrige formale Bildung	Mittlere formale Bildung	Hohe formale Bildung	Gesamtes Sample	Niedrige formale Bildung	Mittlere formale Bildung	Hohe formale Bildung	Gesamtes Sample	Niedrige formale Bildung	Mittlere formale Bildung	Hohe formale Bildung	Gesamtes Sample	Niedrige formale Bildung	Mittlere formale Bildung	Hohe formale Bildung
Voronoi + Distance Decay	0,0592	0,0148	0,0493	0,1263	0,1060	0,0617	0,1123	0,1222	0,1013	0,0580	0,1146	0,1202	0,0592	0,0148	0,0493	0,1263
Voronoi	0,0527	0,0039	0,0265	0,1187	0,0364	- 0,0030	0,0215	0,0962	0,0562	0,0297	0,0499	0,0917	0,0527	0,0039	0,0265	0,1187
K=400	0,0590	0,0098	0,0629	0,0848	0,0465	0,0186	0,0406	0,1296	0,0874	0,0623	0,0938	0,1506	0,0590	0,0098	0,0629	0,0848
K=800	0,0648	0,0134	0,0421	0,1192	0,0408	0,0005	0,0294	0,1099	0,0729	0,0611	0,0768	0,1341	0,0648	0,0134	0,0421	0,1192
K=1.600	0,0735	0,0477	0,0370	0,1361	0,0555	0,0094	0,0453	0,1033	0,0845	0,0429	0,0848	0,1393	0,0735	0,0477	0,0370	0,1361
K=3.200	0,0657	0,0603	0,0339	0,1309	0,0667	0,0225	0,0465	0,1351	0,0903	0,0245	0,0820	0,1571	0,0657	0,0603	0,0339	0,1309
K=6.400	0,0845	0,0704	0,0237	0,1789	0,0907	0,0344	0,0529	0,1796	0,1101	0,0289	0,0681	0,2193	0,0845	0,0704	0,0237	0,1789
K=12.800	0,0053	- 0,0086	- 0,0204	0,1076	0,0724	0,0297	0,0241	0,1744	0,0776	0,0364	0,0278	0,2059	0,0053	- 0,0086	- 0,0204	0,1076
K=25.600	0,0205	0,0197	0,0205	0,0593	0,0810	0,0593	0,0367	0,1375	0,0964	0,0733	0,0618	0,1686	0,0205	0,0197	0,0205	0,0593
K=50.000	0,0298	0,0602	0,0222	0,0618	0,0589	0,0458	0,0348	0,1116	0,0731	0,0538	0,0488	0,1274	0,0298	0,0602	0,0222	0,0618
K=100.000	0,0306	0,0716	0,0088	0,0399	0,0625	0,0533	0,0066	0,1386	0,0824	0,0696	0,0348	0,1474	0,0306	0,0716	0,0088	0,0399

	Schwellenwert ≤ 3% vs. > 9%				Schwellenwert ≤ 3% vs. > 12%				Schwellenwert ≤ 3% vs. > 25%			
	Gesamtes Sample	Niedrige formale Bildung	Mittlere formale Bildung	Hohe formale Bildung	Gesamtes Sample	Niedrige formale Bildung	Mittlere formale Bildung	Hohe formale Bildung	Gesamtes Sample	Niedrige formale Bildung	Mittlere formale Bildung	Hohe formale Bildung
Voronoi + Distance Decay	0,0946	- 0,0335	0,1390	0,1441	0,1322	- 0,0488	0,1825	0,1676	0,1471	- 0,0556	0,1885	0,2250
Voronoi	0,0690	0,0455	0,0816	0,0781	0,0664	0,0422	0,0703	0,0727	0,0826	0,0784	0,1178	0,0371
K=400	0,1163	0,1127	0,1019	0,1793	0,1129	0,0695	0,1084	0,1727	0,1198	0,0935	0,1128	0,1547
K=800	0,0825	0,0911	0,0608	0,1603	0,0898	0,0675	0,0922	0,1421	0,1000	0,0391	0,0923	0,1514
K=1.600	0,1072	0,0557	0,1214	0,1375	0,1381	0,1103	0,1517	0,1522	0,1384	0,0439	0,1624	0,1638
K=3.200	0,1035	0,0014	0,1305	0,1338	0,1210	0,0543	0,1452	0,1495	0,1062	0,0441	0,1155	0,1618
K=6.400	0,0999	0,0145	0,0672	0,2279	0,1343	0,0621	0,0836	0,2205	0,1062	0,1184	0,1605	0,1908
K=12.800	0,0953	0,0494	0,0666	0,2122	0,1282	0,0946	0,0777	0,2083	0,1481	0,1497	0,0853	0,2331
K=25.600	0,0593	0,0428	0,0186	0,1881	0,0831	0,0425	0,0472	0,2655	0,1158	0,0432	0,1246	0,2663
K=50.000	0,0793	0,0406	0,0324	0,1425	0,0963	0,0597	0,0632	0,1507	0,0868	- 0,0004	0,0849	0,1810
K=100.000	0,1142	0,0890	0,0490	0,1649	0,0968	0,0335	0,0387	0,1984	0,0960	0,0414	0,0704	0,2012

Schwellenwert ≤ 3% vs. > 20%

Schwellenwert ≤ 3% vs. > 25%

	Schwellenwert ≤ 3% vs. > 20%				Schwellenwert ≤ 3% vs. > 25%			
	Gesamtes Sample	Niedrige formale Bildung	Mittlere formale Bildung	Hohe formale Bildung	Gesamtes Sample	Niedrige formale Bildung	Mittlere formale Bildung	Hohe formale Bildung
Voronoi + Distance Decay	0,1384	- 0,1036	0,1589	0,2792	0,1980	- 0,1185	0,1934	0,2960
Voronoi	0,0974	0,0574	0,1608	0,1136	0,1280	- 0,0848	0,2139	0,1346
K=400	0,1368	0,0248	0,1858	0,1514	0,1401	- 0,0153	0,1851	0,1852
K=800	0,1312	- 0,0479	0,1635	0,1461	0,1537	0,0017	0,2291	0,1407
K=1.600	0,1453	- 0,0505	0,1808	0,1718	0,1728	- 0,1049	0,2153	0,1303
K=3.200	0,0836	0,0836	0,2701	0,1296	0,1351	- 0,0967	0,3506	0,1517
K=6.400	0,1775	0,1116	0,1537	0,2188	0,1351	0,0391	0,1746	0,1855
K=12.800	0,1690	0,0126	0,1531	0,2307	0,0777	- 0,0398	0,0994	0,2041
K=25.600	0,1913	0,2235	0,1757	0,3191	0,1338	0,3334	0,1439	0,2963
K=50.000	0,0918	0,0517	0,0650	0,2290	0,2159	0,0000	0,1717	0,4187
K=100.000	0,1042	0,0162	0,1568	0,2615	0,0924	0,0041	0,0714	0,1698

Quelle: Eigene Darstellung und Berechnung auf Basis der Daten des SOEP v35 (2018), der Zensus 2011 100x100 Meter Gitterdaten (vgl. Destatis 2018), der microm PLZ8 Daten (vgl. microm 2019; Goebel; Hopp 2015), der Daten zur räumlichen Ausdehnung der Bundesländer (vgl. BKG 2019) und aller Schuladresse aus ganz Deutschland (vgl. Abschnitt 4.4) (Die Fallzahl variiert mit jeder Berechnung)

Tabelle 6: ATE für den Anteil statusniedriger Haushalte in allen Skalierungen und Schwellenwerten; Differenziert nach Bildungsgruppen; Exakte Werte

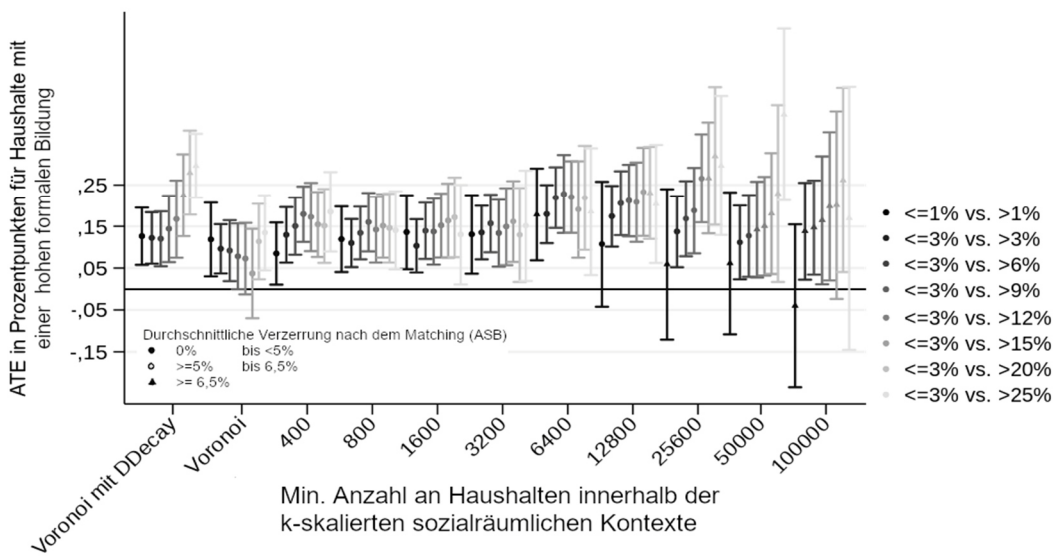
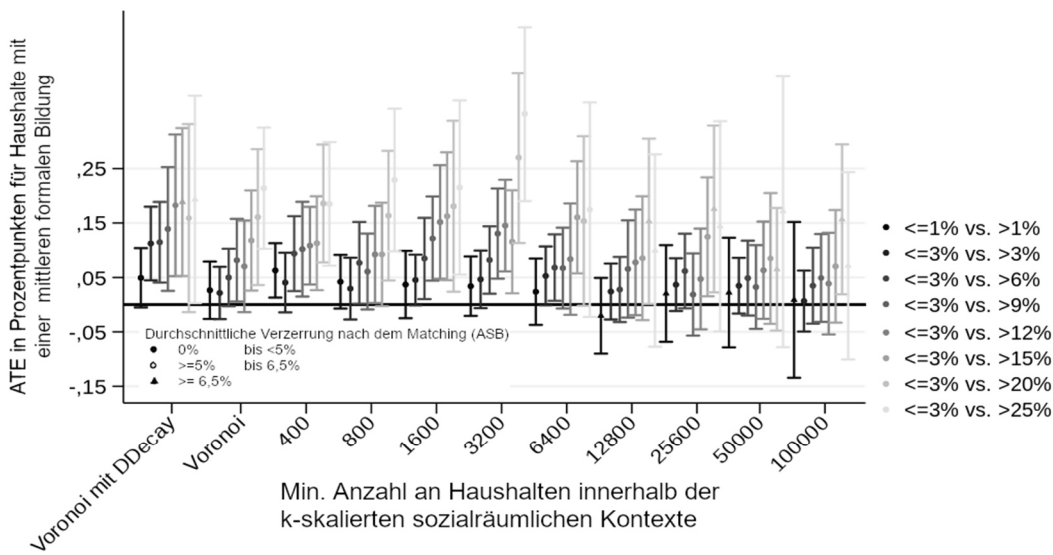
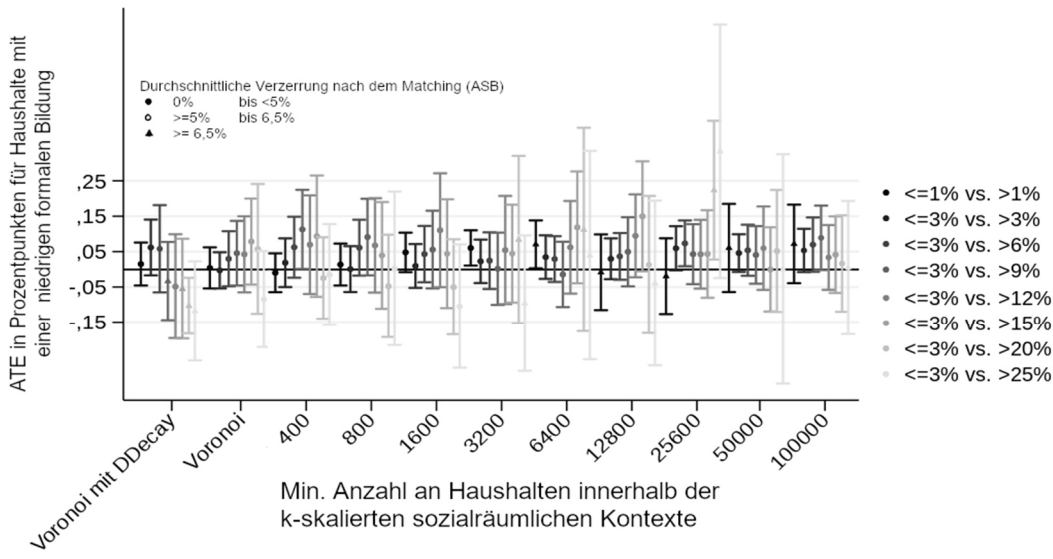
	Schwellenwert <= 1% vs. >1%				Schwellenwert <=3% vs. >3%				Schwellenwert <=3% vs. >6%			
	Gesamtes Sample	Niedrige formale Bildung	Mittlere formale Bildung	Hohe formale Bildung	Gesamtes Sample	Niedrige formale Bildung	Mittlere formale Bildung	Hohe formale Bildung	Gesamtes Sample	Niedrige formale Bildung	Mittlere formale Bildung	Hohe formale Bildung
Voronoi + Distance Decay	0,0048	0,0141	0,0262	- 0,0072	0,0011	0,0505	0,0246	- 0,0481	- 0,0039	0,0498	0,0295	- 0,0534
Voronoi	- 0,0052	0,0043	- 0,0116	0,0240	0,0025	0,0271	0,0036	0,0124	- 0,0024	0,0480	0,0168	- 0,0219
k=400	- 0,0130	0,0141	- 0,0166	- 0,0203	- 0,0243	0,0272	- 0,0231	0,0010	- 0,0244	0,0248	- 0,0131	- 0,0199
k=800	0,0046	0,0108	0,0054	0,0025	- 0,0024	0,0160	- 0,0032	- 0,0044	- 0,0092	0,0248	0,0024	- 0,0101
k=1.600	- 0,0104	- 0,0015	- 0,0307	0,0246	0,0162	0,0209	0,0184	0,0260	0,0249	0,0483	0,0368	0,0197
k=3.200	- 0,0034	- 0,0465	0,0052	0,0200	0,0314	0,0058	0,0511	0,0229	0,0320	0,0415	0,0459	0,0206
k=6.400	- 0,0219	- 0,0445	- 0,0338	0,0175	0,0351	0,0112	0,0636	0,0227	0,0336	0,0276	0,0398	0,0530
k=12.800	- 0,0269	- 0,0314	- 0,0079	0,0114	0,0140	0,0428	- 0,0181	0,0941	0,0224	0,0357	0,0010	0,0741
k=25.600	- 0,0121	0,0269	0,0027	0,0270	0,0366	0,0677	0,0207	0,0807	0,0243	0,0691	- 0,0008	0,0902
k=50.000	0,0340	0,0305	0,0022	0,1182	0,0395	0,0697	0,0500	0,0242	0,0334	0,0824	0,0173	0,0292
k=100.000	0,0305	0,0238	0,0902	- 0,0410	0,0532	0,0264	0,0794	0,0845	0,0633	0,0749	0,0780	0,0872

	Schwellenwert <=3% vs. >9%				Schwellenwert <=3% vs. >12%				Schwellenwert <=3% vs. >15%			
	Gesamtes Sample	Niedrige formale Bildung	Mittlere formale Bildung	Hohe formale Bildung	Gesamtes Sample	Niedrige formale Bildung	Mittlere formale Bildung	Hohe formale Bildung	Gesamtes Sample	Niedrige formale Bildung	Mittlere formale Bildung	Hohe formale Bildung
Voronoi + Distance Decay	- 0,0264	0,0418	- 0,0151	- 0,0298	- 0,0245	0,0405	0,0012	- 0,0431	- 0,0107	0,0422	0,0084	- 0,0159
Voronoi	- 0,0149	0,0693	- 0,0178	0,0228	- 0,0131	0,0738	- 0,0115	0,0578	- 0,0235	0,0455	- 0,0366	0,0443
k=400	0,0188	0,0492	0,0418	0,0120	0,0256	0,0527	0,0641	0,0066	0,0144	0,0614	0,0545	- 0,0041
k=800	- 0,0141	0,0422	0,0143	0,0255	- 0,0031	0,0340	0,0423	0,0086	0,0029	0,0335	0,0552	0,0026
k=1.600	0,0126	0,0699	0,0163	0,0310	0,0293	0,0674	0,0483	0,0356	0,0155	0,0875	0,0275	0,0557
k=3.200	0,0405	0,0653	0,0283	0,0541	0,0291	0,0909	0,0013	0,0872	0,0307	0,0653	0,0258	0,0920
k=6.400	0,0267	0,0372	0,0151	0,0430	0,0146	0,0892	- 0,0241	0,0501	- 0,0041	0,0760	- 0,0494	0,0568
k=12.800	0,0073	0,0774	- 0,0281	0,0503	- 0,0027	0,0468	- 0,0135	0,0810	0,0250	0,0522	0,0019	0,0568
k=25.600	0,0500	0,0709	0,0156	0,1131	0,0470	0,0533	- 0,0069	0,1291	0,0668	0,0685	0,0562	0,1495
k=50.000	0,0308	0,0668	- 0,0015	0,0867	0,0211	0,0729	0,0280	0,0481	0,0567	0,1402	0,0657	0,0550
k=100.000	0,0770	0,0801	0,1243	0,0661	0,0477	0,0238	0,0855	0,1148	0,1165	0,0412	0,1863	0,2084

	Schwellenwert <=3% vs. >20%				Schwellenwert <=3% vs. >25%			
	Gesamtes Sample	Niedrige formale Bildung	Mittlere formale Bildung	Hohe formale Bildung	Gesamtes Sample	Niedrige formale Bildung	Mittlere formale Bildung	Hohe formale Bildung
Voronoi + Distance Decay	- 0,0698	0,0240	- 0,0958	- 0,0070	- 0,0362	0,0541	- 0,1331	0,0065
Voronoi	- 0,0164	0,0175	- 0,0173	0,0668	- 0,0163	- 0,0005	0,0265	0,0228
k=400	0,0226	0,0883	0,0465	- 0,0277	- 0,0056	0,0664	- 0,0232	0,0222
k=800	- 0,0150	0,0483	0,0328	- 0,0157	- 0,0016	0,0444	0,0266	0,0526
k=1.600	- 0,0045	0,0899	0,0226	0,1006	0,0621	0,0625	0,0442	0,0442
k=3.200	0,0170	0,1106	- 0,0122	0,1123	0,0857	0,0306	0,1613	0,0980
k=6.400	0,0330	0,1002	0,0119	0,0897	0,0980	0,1283	0,0565	0,0964
k=12.800	0,0109	0,0286	- 0,0737	0,1265	0,0421	0,0659	- 0,0485	0,0802
k=25.600	0,1044	0,1116	0,0719	0,1247	0,0738	0,0641	0,0002	0,1909
k=50.000	0,0205	0,1208	- 0,0144	0,1070	0,0249	0,1293	0,0107	0,1120
k=100.000	0,1337	0,0689	0,1570	0,1922	0,1498	0,0770	0,2186	0,2114

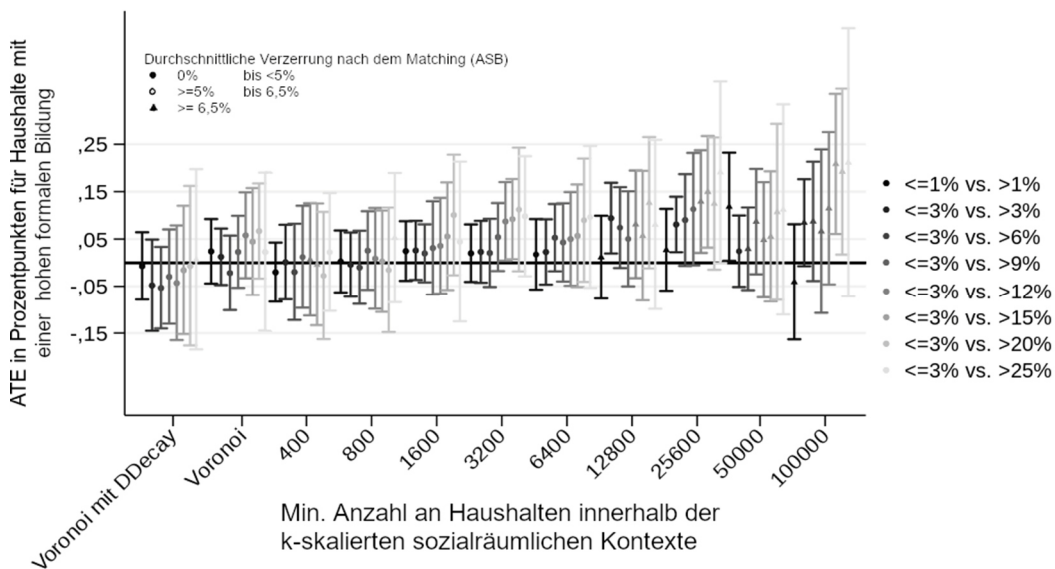
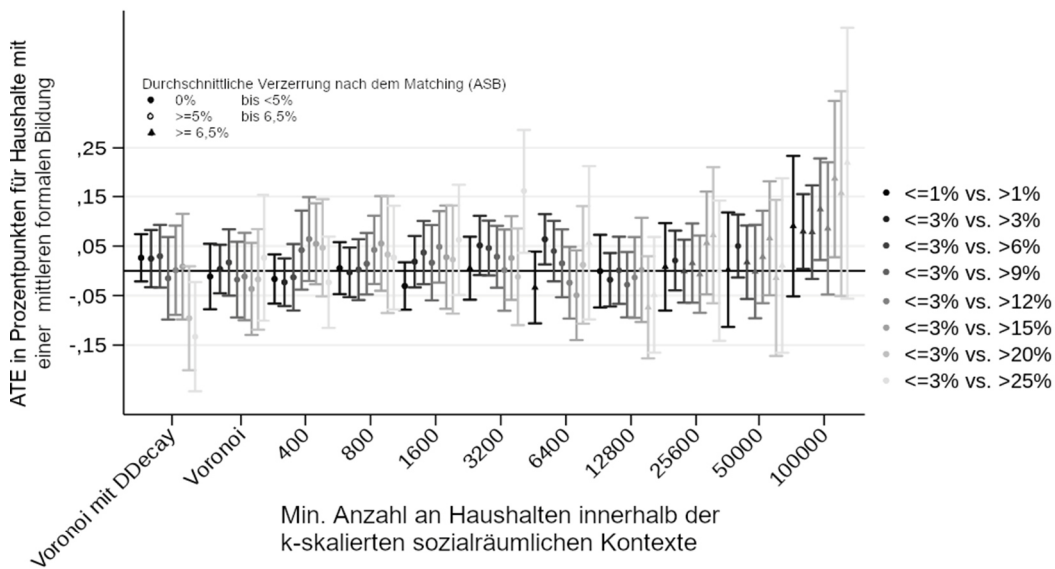
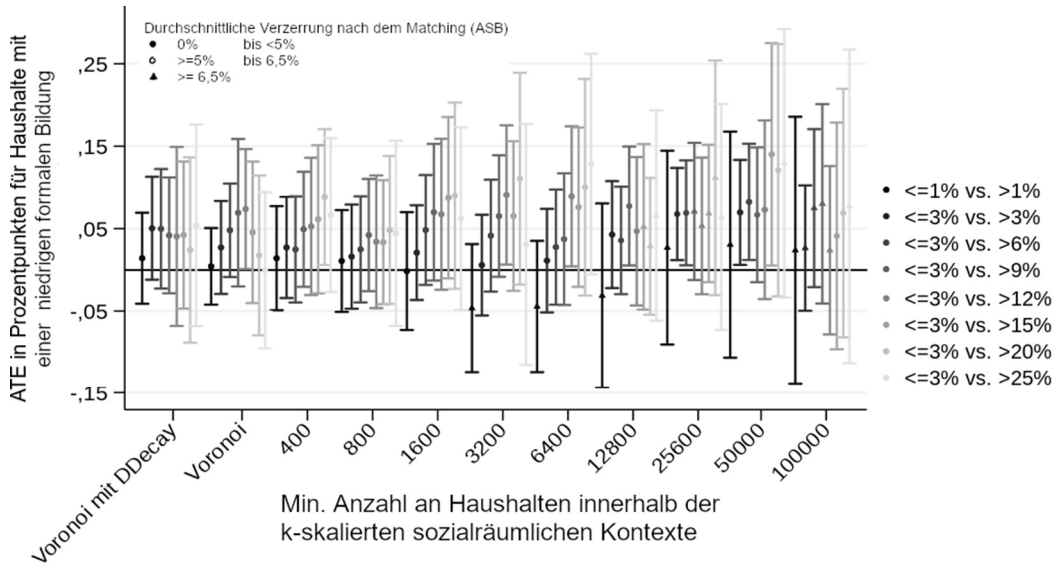
Quelle: Eigene Darstellung und Berechnung auf Basis der Daten des SOEP v35 (2018), der Zensus 2011 100x100 Meter Gitterdaten (vgl. Destatis 2018), der microm PLZ8 Daten (vgl. microm 2019; Goebel; Hopp 2015), der Daten zur räumlichen Ausdehnung der Bundesländer (vgl. BKG 2019) und aller Schuladresse aus ganz Deutschland (vgl. Abschnitt 4.4) (Die Fallzahl variiert mit jeder Berechnung)

Abbildung 36: ATE des Anteils statushoher Haushalte in alle Skalierungen und allen Schwellenwerte; Differenziert nach Bildungsgruppen



Quelle: Eigene Darstellung und Berechnung auf Basis der Daten des SOEP v35 (2018), der Zensus 2011 100x100 Meter Gitterdaten (vgl. Destatis 2018), der microm PLZ8 Daten (vgl. microm 2019; Goebel; Hopp 2015), der Daten zur räumlichen Ausdehnung der Bundesländer (vgl. BKG 2019) und aller Schuladresse aus ganz Deutschland (vgl. Abschnitt 4.4) (Die Fallzahl variiert mit jeder Berechnung)

Abbildung 37: ATE des Anteils statusniedriger Haushalte in alle Skalierungen und allen Schwellenwerte; Differenziert nach Bildungsgruppen



Quelle: Eigene Darstellung und Berechnung auf Basis der Daten des SOEP v35 (2018), der Zensus 2011 100x100 Meter Gitterdaten (vgl. Destatis 2018), der microm PLZ8 Daten (vgl. microm 2019; Goebel; Hopp 2015), der Daten zur räumlichen Ausdehnung der Bundesländer (vgl. BKG 2019) und aller Schuladresse aus ganz Deutschland (vgl. Abschnitt 4.4) (Die Fallzahl variiert mit jeder Berechnung)

Tabelle 7: ATT in Abhängigkeit des Anteils statushoher Haushalte in allen Skalierungen und Schwellenwerten; Differenziert nach Bildungsgruppen;
Exakte Werte

	Schwellenwert ≤ 1% vs. >1%						Schwellenwert ≤ 3% vs. >3%						Schwellenwert ≤ 3% vs. >6%																																																																																																																									
	Gesamtes Sample		Niedrige formale Bildung		Mittlere formale Bildung		Hohe formale Bildung		Gesamtes Sample		Niedrige formale Bildung		Mittlere formale Bildung		Hohe formale Bildung		Gesamtes Sample		Niedrige formale Bildung		Mittlere formale Bildung		Hohe formale Bildung																																																																																																															
Voronoi + Distance Decay	0,0755	0,1339	0,0296	0,1477	0,1140	0,0593	0,0987	0,1412	0,1149	0,0489	0,0865	0,1521	0,0651	0,0027	0,0302	0,1300	0,0606	-	0,0021	0,0286	0,1045	0,0735	0,0489	0,0542	0,0629	-	0,0095	0,1088	0,0571	0,0056	0,0066	0,1326	0,0906	0,0530	0,0453	0,1626	0,0791	0,0051	0,0358	0,1337	0,0521	-	0,0149	0,0132	0,1200	0,0810	0,0391	0,0400	0,1438	0,0915	0,0475	0,0400	0,1515	0,0657	0,0100	0,0195	0,1167	0,0887	0,0386	0,0391	0,1605	0,0685	0,0600	0,0248	0,1476	0,0847	0,0219	0,0353	0,1442	0,1043	0,0234	0,0687	0,1698	0,0923	0,0730	0,0090	0,2199	0,1063	0,0229	0,0354	0,2234	0,1345	0,0284	0,0284	0,2472	0,12,800	-	0,0153	0,1257	0,0932	0,0330	0,0235	0,2117	0,1231	0,0302	0,0517	0,2533	0,25,600	0,0126	-	0,0241	0,0079	0,0582	0,0157	0,1591	0,1072	0,0769	0,0498	0,1961	0,50,000	0,0267	0,0550	0,0726	0,0672	0,0374	0,0246	0,1158	0,0823	0,0508	0,0454	0,1373	100,000	0,0236	0,0768	-	0,0424	0,0781	0,0481	0,0017	0,1532	0,1133	0,0690	0,0308	0,1691
Schwellenwert ≤ 3% vs. >9%	0,1170	0,0218	0,1029	0,1573	0,1547	0,0269	0,1389	0,1892	0,1715	-	0,0643	0,2306	0,0861	0,0258	0,0664	0,1137	0,0763	0,0047	0,0774	0,1007	0,0771	0,0231	0,1005	0,0930	0,1163	0,0724	0,0612	0,1911	0,1228	0,0690	0,0737	0,1945	0,1292	0,0903	0,0727	0,1994	0,1037	0,0616	0,0510	0,1690	0,1146	0,0430	0,0796	0,1696	0,1212	0,0308	0,0718	0,1822	0,1123	0,0514	0,0703	0,1724	0,1197	0,0407	0,0932	0,1718	0,1162	0,0080	0,0875	0,1739	0,1187	0,0189	0,1051	0,1629	0,1294	0,0260	0,1263	0,1829	0,1245	-	0,0123	0,1117	0,1911	0,6,400	0,1474	-	0,0067	0,0783	0,1726	0,0281	0,1141	0,1896	0,0599	0,1438	0,2772	0,12,800	0,1547	0,0586	0,0903	0,1738	0,1738	0,0768	0,1183	0,2689	0,1915	0,0350	0,1492	0,25,600	0,1153	0,0559	0,0550	0,2442	0,1558	0,0576	0,1059	0,3084	0,1817	0,0552	0,1706	0,50,000	0,1043	0,0388	0,0680	0,1673	0,1255	0,0556	0,0846	0,1962	0,1324	0,0208	0,1175	100,000	0,1511	0,1110	0,0394	0,2106	0,1578	0,0652	0,0464	0,2468	0,1518	0,1044	0,0587	0,2870
Schwellenwert ≤ 3% vs. >20%	0,2048	-	0,0647	0,1840	0,1944	-	0,1205	0,2412	0,2714	-	0,1205	0,2714	0,0625	0,0072	0,1136	0,1181	0,0651	-	0,0369	0,1271	0,1344	-	0,0369	0,1344	0,1363	0,0399	0,1129	0,2009	0,1436	0,0040	0,1117	0,2181	0,1117	0,0040	0,2181	0,1849	0,800	0,1158	0,0031	0,0973	0,1328	-	0,0600	0,1235	0,1849	0,0391	0,1235	0,1849	0,1,600	-	0,0305	0,1671	0,1239	-	0,0483	0,1108	0,1755	0,1108	0,1108	0,1755	0,3,200	0,1327	0,0084	0,0957	0,1925	0,1906	-	0,0483	0,0943	0,3171	0,2014	0,2151	0,6,400	0,1945	-	0,0155	0,1615	0,1295	-	0,0483	0,0943	0,3171	0,2014	0,2151	0,12,800	0,1886	-	0,0274	0,1192	0,1295	-	0,0732	0,0787	0,2014	0,2745	0,2745	0,25,600	0,2136	0,0759	0,1916	0,3839	0,2081	0,0785	0,2054	0,2745	0,2745	0,4698	0,4698	0,50,000	0,1809	0,0631	0,1421	0,3366	0,2534	0,0612	0,1567	0,4698	0,4698	0,4698	0,4698	100,000	0,1883	0,1319	0,1536	0,2978	0,2012	0,1408	0,1306	0,1653	0,1408	0,1306	0,1653		

Quelle: Eigene Berechnungen

Tabelle 8: ATT in Abhängigkeit des Anteils statusniedriger Haushalte in allen Skalierungen und Schwellenwerten; Differenziert nach Bildungsgruppen; Exakte Werte

	Schwellenwert $\leq 1\%$ vs. $>1\%$				Schwellenwert $\leq 3\%$ vs. $>3\%$				Schwellenwert $\leq 3\%$ vs. $>6\%$			
	Gesamtes Sample	Niedrige formale Bildung	Mittlere formale Bildung	Hohe formale Bildung	Gesamtes Sample	Niedrige formale Bildung	Mittlere formale Bildung	Hohe formale Bildung	Gesamtes Sample	Niedrige formale Bildung	Mittlere formale Bildung	Hohe formale Bildung
Voronoi + Distance Decay	- 0,0045	0,0107	0,0140	- 0,0123	0,0086	0,0605	0,0137	0,0089	- 0,0129	0,0586	0,0164	- 0,0099
Voronoi	- 0,0129	- 0,0002	- 0,0236	- 0,0095	- 0,0202	0,0189	0,0380	0,0107	- 0,0298	0,0370	- 0,0457	- 0,0019
k=400	- 0,0321	0,0140	- 0,0564	- 0,0427	0,0427	0,0092	- 0,0514	- 0,0569	- 0,0497	0,0051	- 0,0600	- 0,0667
k=800	- 0,0150	0,0028	0,0021	- 0,0272	- 0,0258	0,0145	- 0,0182	- 0,0580	- 0,0330	0,0159	- 0,0365	- 0,0471
k=1.600	- 0,0387	- 0,0121	- 0,0545	- 0,0044	- 0,0139	0,0173	- 0,0132	0,0007	- 0,0228	0,0404	- 0,0265	- 0,0107
k=3.200	- 0,0245	- 0,0562	- 0,0148	- 0,0001	0,0028	0,0021	0,0226	0,0060	0,0014	0,0335	0,0066	0,0030
k=6.400	- 0,0317	- 0,0505	- 0,0557	0,0241	0,0197	- 0,0019	0,0402	0,0231	0,0158	0,0060	0,0134	0,0373
k=12.800	- 0,0379	- 0,0441	- 0,0051	- 0,0012	0,0158	0,0445	- 0,0294	0,0901	0,0215	0,0312	- 0,0151	0,1016
k=25.600	- 0,0271	0,0228	- 0,0020	0,0147	0,0338	0,0731	0,0131	0,1044	0,0340	0,0781	- 0,0023	0,1243
k=50.000	0,0295	0,0278	0,0000	0,1298	0,0354	0,0722	0,0323	0,0270	0,0356	0,0765	0,0163	0,0238
k=100.000	0,0251	0,0238	0,0838	- 0,0527	0,0553	0,0214	0,0880	0,1021	0,0767	0,0567	0,0969	0,1214

	Schwellenwert $\leq 3\%$ vs. $>9\%$				Schwellenwert $\leq 3\%$ vs. $>12\%$				Schwellenwert $\leq 3\%$ vs. $>15\%$			
	Gesamtes Sample	Niedrige formale Bildung	Mittlere formale Bildung	Hohe formale Bildung	Gesamtes Sample	Niedrige formale Bildung	Mittlere formale Bildung	Hohe formale Bildung	Gesamtes Sample	Niedrige formale Bildung	Mittlere formale Bildung	Hohe formale Bildung
Voronoi + Distance Decay	- 0,0390	0,0479	- 0,0508	- 0,0130	- 0,0438	0,0385	- 0,0348	- 0,0288	- 0,0465	0,0341	- 0,0409	0,0009
Voronoi	- 0,0405	0,0464	- 0,0806	0,0311	- 0,0527	0,0375	- 0,0895	0,0365	- 0,0665	0,0035	- 0,1188	0,0014
k=400	- 0,0332	0,0171	- 0,0447	- 0,0295	- 0,0391	0,0099	- 0,0545	- 0,0229	- 0,0440	0,0152	- 0,0624	- 0,0280
k=800	- 0,0275	0,0246	- 0,0321	- 0,0351	- 0,0370	0,0203	- 0,0434	- 0,0586	- 0,0419	0,0222	- 0,0559	- 0,0632
k=1.600	- 0,0285	0,0486	- 0,0469	- 0,0039	- 0,0336	0,0469	- 0,0415	0,0048	- 0,0449	0,0376	- 0,0610	- 0,0058
k=3.200	- 0,0023	0,0487	- 0,0178	0,0197	- 0,0134	0,0624	- 0,0334	0,0078	- 0,0181	0,0450	- 0,0282	- 0,0023
k=6.400	- 0,0024	0,0088	- 0,0142	0,0339	- 0,0008	0,0296	- 0,0408	0,0319	- 0,0200	0,0209	- 0,0619	0,0381
k=12.800	0,0071	0,0645	- 0,0387	0,0784	0,0145	0,0447	- 0,0450	0,0661	0,0083	0,0431	- 0,0613	0,0628
k=25.600	0,0592	0,0744	0,0201	0,1569	0,0691	0,0612	0,0253	0,1239	0,0766	0,0841	0,0344	0,1097
k=50.000	0,0296	0,0784	0,0004	0,0766	0,0308	0,1076	0,0138	0,0551	0,0524	0,1642	0,0435	0,0585
k=100.000	0,0822	0,0611	0,1116	0,1455	0,0690	0,0263	0,0904	0,1405	0,1069	0,0581	0,0936	0,2024

	Schwellenwert $\leq 3\%$ vs. $>20\%$				Schwellenwert $\leq 3\%$ vs. $>25\%$			
	Gesamtes Sample	Niedrige formale Bildung	Mittlere formale Bildung	Hohe formale Bildung	Gesamtes Sample	Niedrige formale Bildung	Mittlere formale Bildung	Hohe formale Bildung
Voronoi + Distance Decay	- 0,0777	0,0343	- 0,0545	- 0,0386	- 0,0708	0,0555	- 0,1266	- 0,0471
Voronoi	- 0,0629	- 0,0085	- 0,1339	0,0312	- 0,0678	- 0,0277	- 0,1261	- 0,0017
k=400	- 0,0387	0,0338	- 0,0700	0,0141	- 0,0565	0,0218	- 0,0994	0,0208
k=800	- 0,0511	0,0224	- 0,0779	- 0,0521	- 0,0512	0,0248	- 0,1128	0,0298
k=1.600	- 0,0499	0,0135	- 0,0609	0,0079	- 0,0512	0,0172	- 0,0663	- 0,0427
k=3.200	- 0,0060	0,0419	- 0,0560	0,0381	- 0,0264	- 0,0527	- 0,0263	0,0118
k=6.400	- 0,0202	0,0159	- 0,0580	0,0303	- 0,0116	0,0449	- 0,0299	0,0266
k=12.800	0,0123	0,0227	- 0,0657	0,1301	0,0085	- 0,0020	0,0502	0,1106
k=25.600	0,0882	0,1300	0,0505	0,1155	0,0871	0,1214	0,0499	0,1520
k=50.000	0,0591	0,1941	0,0374	0,0591	0,0641	0,1780	0,0124	0,1811
k=100.000	0,1271	0,1230	0,0374	0,1873	0,1293	0,1135	0,0699	0,1994

Quelle: Eigene Darstellung und Berechnung auf Basis der Daten des SOEP v35 (2018), der Zensus 2011 100x100 Meter Gitterdaten (vgl. Destatis 2018), der microm PLZ8 Daten (vgl. microm 2019; Goebel; Hopp 2015), der Daten zur räumlichen Ausdehnung der Bundesländer (vgl. BKG 2019) und aller Schuladresse aus ganz Deutschland (vgl. Abschnitt 4.4) (Die Fallzahl variiert mit jeder Berechnung)

Tabelle 9: Durchschnittliche Anteile an Statushaushalten in den verschiedenen Skalierungen des sozialräumlichen Kontextes; Differenziert nach Bildungsgruppen; Median

	Durchschnittlicher Anteil statusniedriger Haushalte				Median statusniedriger Haushalte				Durchschnittlicher Anteil statushoher Haushalte				Median statushoher Haushalte			
	Gesamtes Sample	Niedrige formale Bildung	Mittlere formale Bildung	Hohe formale Bildung	Niedrige formale Bildung	Mittlere formale Bildung	Hohe formale Bildung	Alle Gruppen	Niedrige formale Bildung	Mittlere formale Bildung	Hohe formale Bildung	Niedrige formale Bildung	Mittlere formale Bildung	Hohe formale Bildung		
Voronoi + Distance Decay	0,046	0,072	0,043	0,033												
Voronoi	0,096	0,127	0,096	0,074	0,006	0,006	0,006	0,034	0,021	0,025	0,062	0,014	0,014	0,014		
K=400	0,104	0,150	0,104	0,067	0,006	0,011	0,006	0,083	0,053	0,064	0,144	0,014	0,014	0,014		
K=800	0,105	0,149	0,104	0,071	0,011	0,011	0,083	0,084	0,045	0,062	0,154	0,016	0,016	0,016		
K=1.600	0,104	0,144	0,104	0,075	0,019	0,019	0,082	0,082	0,046	0,062	0,152	0,019	0,019	0,019		
K=3.200	0,105	0,138	0,104	0,080	0,027	0,027	0,082	0,082	0,051	0,063	0,148	0,023	0,023	0,023		
K=6.400	0,105	0,131	0,104	0,086	0,039	0,039	0,083	0,083	0,054	0,066	0,142	0,029	0,029	0,029		
K=12.800	0,105	0,125	0,105	0,088	0,049	0,049	0,085	0,085	0,059	0,069	0,137	0,034	0,034	0,034		
K=25.600	0,104	0,119	0,106	0,089	0,055	0,055	0,087	0,087	0,065	0,073	0,134	0,041	0,041	0,041		
K=50.000	0,103	0,111	0,105	0,091	0,062	0,062	0,090	0,090	0,071	0,077	0,130	0,049	0,049	0,049		
K=100.000	0,101	0,105	0,105	0,091	0,067	0,067	0,094	0,094	0,079	0,082	0,129	0,055	0,055	0,055		

Quelle: Eigene Darstellung und Berechnung auf Basis der Daten des SOEP v35 (2018), der Zensus 2011 100x100 Meter Gitterdaten (vgl. Destatis 2018), der microm PLZ8 Daten (vgl. microm 2019; Goebel; Hopp 2015), der Daten zur räumlichen Ausdehnung der Bundesländer (vgl. BKG 2019) und aller Schuladresse aus ganz Deutschland (vgl. Abschnitt 4.4) (Die Fallzahl variiert mit jeder Berechnung)

